

بررسی تجربی و نظری رفتار اکوستیکی انژکتور چرخشی مورد استفاده در موتورهای راکتی سوخت مایع

حمید مهدیقلی

استادیار دانشکده مهندسی مکانیک
دانشگاه صنعتی شریف
mehdi@sharif.ir

عطالله پور محمود*

دانشجوی کارشناس ارشد مهندسی هواپیما
دانشگاه صنعتی شریف
poormahmood@ae.sharif.ir

تاریخ پذیرش: ۱۳۹۴/۰۳/۱۶

تاریخ دریافت: ۱۳۹۳/۱۲/۱۰

چکیده

در این مقاله انژکتور چرخشی هم محور دارای حفره (انژکتور حفره‌پشتی) به منظور جلوگیری از وقوع ناپایداری‌های فرکانس بالا در موتورهای راکتی سوخت مایع بررسی می‌شود. برای بررسی و تحلیل تأثیر انژکتور حفره‌پشتی به عنوان یک جاذب اکوستیکی، این انژکتور به صورت یک رزوناتور یک‌چهارم موجی ملاحظه شده است. همچنین حجم و شکل حفره هوای انژکتور چرخشی بررسی شده است. از جمله نتایج رویکردهای تحلیلی و آزمایشی، تنظیم دقیق انژکتور حفره‌پشتی با مودهای ناپایدار محفظه احتراق است تا بتواند به عنوان جاذب عمل کند. همچنین بازده میرایی با اندازه‌گیری تجربی نرخ میرایی برآورد شده است. نتایج نشان می‌دهد که استفاده از انژکتورهای مدل، دامنه قله را در فرکانس‌های ناپایدار محفظه بدون انژکتور کاهش می‌دهند. همچنین موقعیت شعاعی انژکتورهای مدل در صفحه انژکتور اندازه‌گیری و مشخص شد که در بازده میرایی بسیار مؤثر است. اگر انژکتور در مرکز صفحه انژکتور نصب شود، به سختی مودهای مماسی خالص و ترکیب آنها را میرا می‌کند.

واژگان کلیدی: انژکتور، ناپایداری، جاذب اکوستیکی، مودهای محفظه احتراق، نرخ میرایی

۱. مقدمه

حفره به محفظه احتراق، عمدتاً به شکل رزوناتورهای هلمهولتزی است که برای محفظه احتراق تشید اکوستیکی فراهم می‌کند. در واقع، هدف اصلی استفاده از این رزوناتورها طراحی محفظه‌ای است که مدهای اکوستیکی آن با مدهای اکوستیکی فرایند احتراق برهم‌نهی

عمده مطالب این مقاله برگرفته از مأخذ [۱] است و هدف اصلی آن بررسی راهکارهایی به منظور حذف ناپایداری‌های اکوستیکی فرکانس بالا از فرایند کاری موتور موشک سوخت مایع می‌باشد. از جمله روش‌های شناخته شده و معروف که در این مأخذ به آن پرداخته شده، اتصال تعدادی

استفاده قرار می‌گیرند و همان‌طور که نامشان نیز برمی‌آید، فرکانس تشدید اصلی آن یک‌چهارم فرکانس موج حامل در مجرای اصلی می‌باشد [۱]. اگر محفظه چرخشی طول کافی نداشته باشد، بخش دیگری به آن اضافه می‌شود. نسخه تجربی این انژکتور دارای حفره‌های کوچک اضافی برای گاز و نیز دیوارهای سوراخ دار است، که با یک حفره به پشت طبقه انژکتور چرخشی متصل می‌شود و به همراه محفظه چرخشی، ترکیبی از رزوناتورهای هلمهولتز و اکوستیکی را به وجود می‌آورند. انژکتورهای حفره‌پشتی با طول افزایش‌یافته محفظه چرخش، در سال ۱۹۷۲ م در شوروی سابق ثبت شده‌اند.

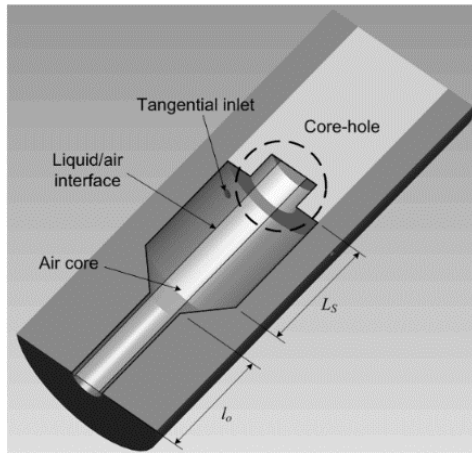
از منظر فنی، اصطلاح انژکتور حفره‌پشتی در واقع یک بخش اضافی خالی است که در پشت ورودی‌های مماسی انژکتور قرار گرفته است. علاوه بر قابلیت رزوناتور اکوستیکی بودن آنها، انژکتورهای حفره‌پشتی شرایط تشدیدی برای امواج سطحی پخش‌شونده در امتداد جریان چرخشی فراهم می‌نمایند. اثر بعدی آنها، کاهش شدید پاسخ دبی جرمی مایع از پالس‌های درون محفظه احتراق و نیز خط تقذیه پیشران‌ها، در فرکانس‌های خاص می‌باشد. به هر حال، مشخصه‌های هیدرولیکی و اکوستیکی انژکتورهای حفره‌پشتی هنوز کاملاً شناخته‌شده نیست. کمبود اطلاعات منتشرشده، عامل اصلی انجام مطالعات تجربی فراوانی روی مدل‌های انژکتورهای حفره‌پشتی، در بازه گستردگی از شرایط عملکردی و پارامترهای طراحی شده است. بهمنظور بررسی آثار تغییر طول حفره‌پشتی، مدل انژکتور مورد استفاده دارای طول متغیر می‌باشد. در شکل ۱ نمایی شماتیک از این انژکتور نمایش داده شده است. در مرجع [۱] آزمایشات اکوستیکی روی یک مدل محفظه به همراه مدل یک انژکتور حفره‌پشتی انجام شده است تا بدین‌وسیله امکان کنترل ناپایداری‌های اکوستیکی فرکانس بالا بررسی شود. بررسی‌های کمی و کیفی با اندازه‌گیری پاسخ فرکانسی و ضرایب میرایی انجام شده است. در شکل ۳ نیز نمایی شماتیک از یک انژکتور چرخشی حفره‌پشتی

داشته باشند تا از این رهگذر عملکرد پایای محفظه احتراق تضمین شود. ایراد عمده این روش در فرم پیچیده سطح محفظه احتراق است که احتمال جمع‌شدن مخلوطی قبل انججار و خطرناک را در حین شروع به کار موتور به وجود می‌آورد. علاوه بر آن، در فرایند خنک‌کاری نیز اختلالاتی ایجاد می‌کند. مضاف بر اینکه عموماً بازده این‌چنین رزوناتورهایی محدود است [۱].

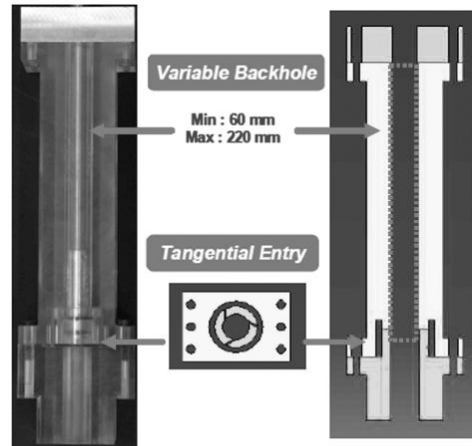
با تحلیل مشخصات موتورهای موشکی سوخت مایع مشخص می‌شود که عدم وجود حفره‌های اکوستیکی یکی از مشخصات عمومی آنهاست؛ در حالی که حاشیه پایداری وسیعی را حتی در فشارهای عملکردی بالای محفظه احتراق دارا می‌باشد. در واقع، علاوه بر ابزارهای دیگری چون بافل‌های خنک‌کاری شده، انژکتورهای مناسب و جز این‌ها، با استفاده از انژکتورهایی که به لحاظ اکوستیکی تطبیق شده‌اند و حفره‌های درونی آنها به مثابه رزوناتورهای اکوستیکی عمل می‌کنند، این پایداری حاصل می‌گردد. در انژکتورهای گاز - مایع محفظه احتراق اصلی، استفاده از طبقه بیرونی متسلک از انژکتورهای چرخشی، با سوراخ سرتاسری در پشت آن، که با یک لوله دارای ورودی باریک‌شونده، به سیال گازی متصل شده است، به همراه محفظه چرخشی انژکتور، یک رزوناتور اکوستیکی را تشکیل می‌دهند که در موتورهای نوینی چون آر. دی. ۱۷۰^۱ و آن. ۳۳^۲ و مشتقات آنها (که همگی با سوخت کروسین و اکسیژن مایع کار می‌کنند) استفاده شده‌اند در موتورهای با ترکیب هیدروژن و اکسیژن مایع (نظیر آر. دی. ۵۷^۳)، که به انژکتورهای گازی خارجی با طبقه چرخشی هم محور اکسیژن مایع تجهیز شده‌اند، چندین ردیف از کانال‌های مماسی و محفظه چرخشی نسبتاً طویل برای ایفای نقش به عنوان رزوناتور یک‌چهارم موجی به کار گرفته شده‌اند. در واقع، رزوناتورهای یک‌چهارم موجی لوله‌هایی هستند که از یک طرف به مجرای اصلی متصل و از سوی دیگر مسدودند. این رزوناتورها عموماً در سیستم‌های ورودی هوا و بهمنظور کاهش تشدید مورد

به صورت مدل‌های پارامتری فرض شوند (مطابق شکل ۴)، می‌توان آنها را به صورت سیستم جرم و فنر ملاحظه کرد. پس یک سیستم تک‌جزئی ازثکتور - محفظه به یک سیستم دو درجه آزادی ساده می‌شود (شکل ۵).

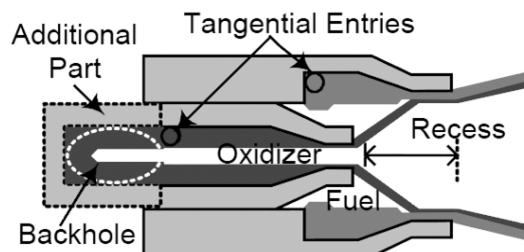
نمایش داده شده است. سیستم‌های اکوستیکی مشابه سیستم‌های جرم و فنر می‌باشند که در آنها صوت، اغتشاشات فشاری و سرعتی و جز این‌ها را در یک محیط الاستیک انتشار می‌دهند. لذا اگر محفظه احتراق و ازثکتور



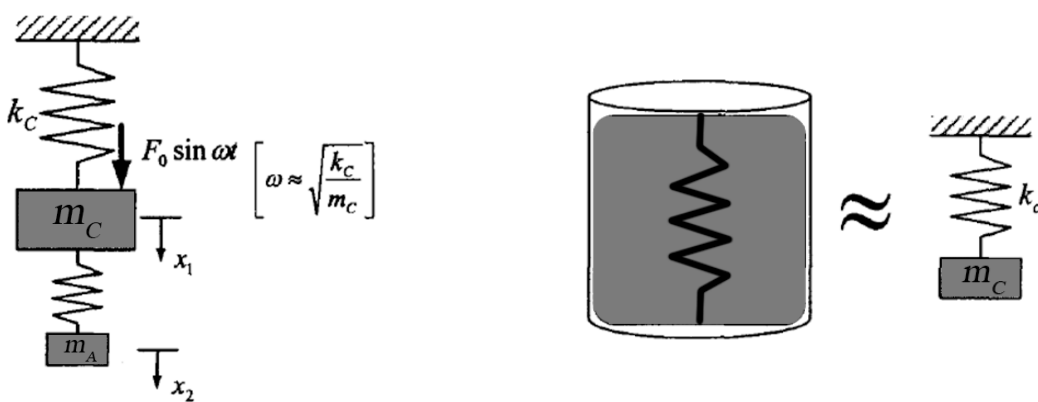
شکل ۳. نمایی از حفره پشت محفظه چرخش ازثکتور [۲]



شکل ۱. مدل ازثکتور حفره‌پشتی [۳]



شکل ۲. نمایی شماتیک از یک ازثکتور چرخشی حفره‌پشتی [۲]



شکل ۵. مدل جسم آزاد ساده‌شده سیستم ازثکتور و محفظه [۱]

شکل ۶. محفظه احتراق به عنوان یک سیستم جرم و فنر [۱]

بافل‌ها و یا وجود یک نازل طولانی و یا یک صفحه انژکتور منحنی) نیز نمی‌تواند این شناسه اکوستیکی را از بین ببرد. آزمایشات اکوستیکی با استفاده از مدل‌ها نشان می‌دهند که هندسه محفظه احتراق و نازل از جنبه نظری به صورت یک سیستم بسته / بسته رفتار می‌کند؛ هرچند در واقعیت نازل بسته نیست [۲].

بهمنظور تحلیل رفتار امواج اکوستیکی محفظه احتراق، به حل معادلات کامل سه‌بعدی پیوستگی و مومنتوم نیاز است. اما معادلات موج به دست آمده با تعدادی از فرضیات معقول و منطقی، برای مدل کردن امواج اکوستیکی درون محفظه احتراق عملی می‌باشند. فرم کلی معادله موج به صورت ۳ است [۱]:

$$\frac{1}{c^2} \frac{\partial^2 p}{\partial t^2} - \nabla^2 p = 0 \quad (3)$$

از جمله این فرضیات این است که جریان متوسط در نظر گرفته نشده است؛ زیرا فرض بر این است که دامنه نوسانات فشار، بسیار پایین می‌باشد. همچنین فرض شده است که تمام حرکات گاز در حفره به صورت آیزنتروویک انجام می‌پذیرد و همچنین اغتشاشات خواص سیال (فشار، چگالی و سرعت) بسیار کوچک می‌باشد. فرکانس تشدید حفره استوانه‌ای برابر است با:

$$f_{lmn} = \frac{c}{2\pi} \sqrt{\left(\frac{\lambda_{mn}^2}{R_c^2} + \frac{l^2 \pi^2}{L_c^2} \right)} \quad (4)$$

$$l, m, n = 0, 1, 2, \dots$$

بهطوری که در این رابطه c سرعت آیزنتروویک صوت در یک گاز مغشوش نشده است و زیرنویس‌های سه‌گانه l و m و n نشانگر شماره‌های موج‌اند.

اگر فرکانس انژکتور حفره‌پشتی مدل دقیقاً با سیستم اصلی تنظیم شود، ممکن است به عنوان جاذب اکوستیکی عمل کند. در این مقاله، مدل انژکتور چرخی به صورت یک رزوناتور یک‌چهارم موجی ملاحظه شده است؛ البته با این فرض که حفره هوای استوانه‌ای با استفاده از پیشران مایع، درون محفظه چرخش انژکتور تشکیل شود (مطابق شکل

باید توجه داشت که زیرنویس‌های C و A به ترتیب معرف محفظه و سیستم متصل (یعنی انژکتور) می‌باشند. همچنین نیروی محرک خارجی به صورت $F_0 \sin(\omega t)$ مدل می‌شود که در آن ω فرکانس زاویه‌ای نیروی محرک می‌باشد. در این مقاله، نیروی محرک منبع صوتی از یک بلندگو است. با حل معادلات حاکم این سیستم، دامنه m_c به صورت ۱ به دست می‌آید:

$$X_1 = \frac{F_0(k_A - m\omega^2)}{(k_c + k_A - m_c\omega^2)(k_A - m_A\omega^2) - k^2} \quad (1)$$

پاسخ معادله دارای دو قله تشدیدی است که می‌تواند از این واقعیت که این سیستم دو درجه آزادی است، توجیه شود. فرکانس‌های تشدید یا بعبارت دیگر فرکانس‌های ویژه این سیستم با معادل صفر قرار دادن بخش موهومی امپدانس در محل جرم ۱ قابل محاسبه هستند. در رابطه Z_1 معرف امپدانس در محل جرم ۱ است.

$$\text{Im}(Z_1(m)) = 0 \quad (2)$$

مشاهده می‌شود که وقتی فرکانس سیستم ضمیمه شده به محفظه (منظور همان انژکتور) با فرکانس تحریک تطابق پیدا می‌کند، مقدار دامنه‌ها عبارت اند از [۱]:

$$X_1 = 0$$

$$X_2 = \frac{-F_0}{k_A}$$

لذا نیروی اعمال شده بر m_A برابر می‌شود با:

$$k_A X_2 = \omega^2 m_A X_2 = -F_0$$

بنابراین سیستم ضمیمه شده شامل m_A و k_A همان میزان از نیروی خارجی را در جهت عکس به سیستم اصلی m_c و k_c اعمال می‌کند؛ لذا ارتعاشات در فرکانس محرک، صرف‌نظر از دامنه m_A حذف می‌گردد.

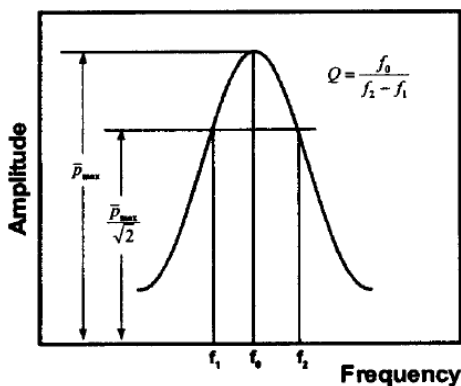
۳. تخمین فرکانس تشدید

نوسانات فشار و سرعت در طی ناپایداری‌های محفظه فرکانس بالا را می‌توان با مودهای اکوستیکی نرمال حفره‌های استوانه‌ای، به خوبی شناسایی کرد. حتی انحراف زیاد شکل محفظه از حالت استوانه‌ای (ناشی از وجود

$$Q = \frac{f_0}{f_2 - f_1} \quad (7)$$

به طوری که در این رابطه f_0 فرکانس تشدید بوده و f_1 و f_2 فرکانس‌های بالا و پایین از f_0 هستند که پاسخ توانی آنها نصف پاسخ توانی در فرکانس تشدید است. یک منحنی پاسخ متداول، که اندازه‌های مورد نیاز برای محاسبه Q را نشان می‌دهد، در شکل ۷ نمایش داده شده است. برای سازگاری با نرخ میرایی α/f_0 ، فاکتور میرایی η به صورت عکس Q تعریف می‌شود:

$$\eta = \frac{f_2 - f_1}{f_0} \quad (8)$$



شکل ۷. منحنی متداول پاسخ محفظه [۱]

همان‌گونه که در شکل ۸ نمایش داده شده است، نرخ میرایی α نرخی است که در آن، میرایی دامنه‌ها بعد از عملکرد منبع تحریک، به صورت ناگهانی تحریک محفظه را متوقف می‌سازد. اگر حفره به عنوان یک پارامتر سیستم، با تلفات خطی نوسان کند، فشار حفره مطابق با قانون زیر میرایی می‌شود [۱]:

$$p_t = p_{\max} e^{-\alpha t} \sin 2\pi f_0 t \quad (9)$$

به طوری که در این رابطه p_t دامنه فشار اکوستیکی در هر لحظه و p_{\max} دامنه قبل از قطع منبع تحریک در لحظه صفر است.

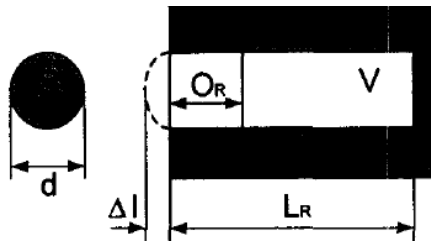
به منظور نشان دادن ملاحظات نظری، الگوی پاشش و پاسخ‌های اکوستیکی اندازه‌گیری شده‌اند. در شکل ۹ نمایی شماتیک از ابزار تجربی برای انجام این آزمایشات

۶. فرکانس تشدید رزوناتور یک‌چهارم موجی برابر است با [۱]

$$f_{Q0} = \frac{c}{4(L_R + \Delta l)} \quad (5)$$

به طوری که در این رابطه Δl تصحیح جرمی است که اجازه می‌دهد که جرم هوا از هوا بیرون اوریفیس جدا نشود. برای انتهای لوله باز فلنج نشده، این مقدار برابر با $0.3d$ می‌باشد. به منظور کارکرد مؤثر انژکتورهای مدل به عنوان جاذب اکوستیکی، طول انژکتور باید به گونه‌ای طراحی شود که تشدید در همان فرکانس محفظه مدل بوجود آید. لذا طول انژکتور از معادله فرکانس تشدید به دست می‌آید.

$$L_{inj} = \frac{c}{4f_0} - \Delta l \quad (6)$$



شکل ۶. رزوناتور یک‌چهارم موجی [۱]

۴. رویکرد تجربی

مفیدترین روش اندازه‌گیری پاسخ یک میدان اکوستیکی در یک سیستم خاص، استفاده از ضریب میرایی اکوستیکی است. در این مقاله، هم روش پهنه‌ای باند و هم روش اندازه‌گیری نرخ اضمحلال، برای ارزیابی فاکتورهای میرایی مدل‌های محفظه و انژکتور مورد استفاده قرار گرفته‌اند. اگر میرایی محفوظه برای یک مود خاص کم باشد، منحنی پاسخ یک بیشینه خواهد داشت، اما سریعاً در فرکانس‌های بالاتر و پایین‌تر از فرکانس تشدید کاهش می‌یابد. اگر میزان میرایی مود زیاد باشد، قله پاسخ کمتر بوده و منحنی گسترده‌تر می‌شود. این رفتار پیشنهاد می‌دهد تا از فاکتور پهنه‌ای باند و یا فاکتور کیفیت، به عنوان ابزاری جهت اندازه‌گیری میرایی استفاده گردد. این فاکتور را می‌توان بر حسب پهنه‌ای باند نیمه‌توان نوشت.

با استفاده از روابط ارائه شده محاسبه شوند. محفظه مدل از جنس مواد شفاف ساخته شده است تا افسانه درون محفظه بهخوبی قابل روئیت و تصویربرداری باشد. مشخصات محفظه مدل در جدول ۱ ارائه شده‌اند [۱].

جدول ۱. مشخصات محفظه مدل [۱]

۲۷۰ میلی‌متر	قطر داخلی
۳۲۰ میلی‌متر	قطر خارجی
۲۵۰ میلی‌متر	ارتفاع داخلی
۳۰۵ میلی‌متر	ارتفاع خارجی
۲۵ میلی‌متر	ضخامت دیواره

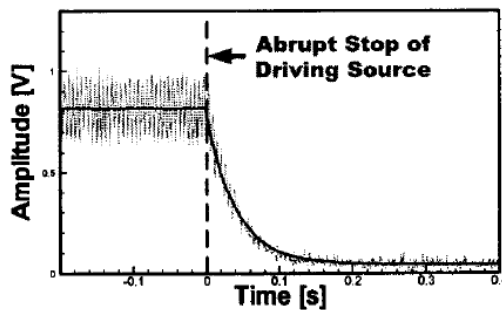
انژکتور حفره‌پشتی مدل با استفاده از رابطه استخراج شده در بخش قبلی طراحی شده است. در بین مودهای اکوستیکی تخمین زده شده مربوط به محفظه احتراق مدل، خصوصاً مودهای ۱T و ۱LIT به عنوان هدف اصلی برای جذب توسط انژکتور مدل در نظر گرفته شده‌اند. شعاع انژکتور مدل برابر با ۱۵ میلی‌متر است و طول آن مطابق با جدول ۲ تغییر می‌کند. انژکتورهای مدل نیز از جنس مواد شفاف ساخته شده‌اند.

جدول ۲. مشخصات انژکتورهای حفره‌پشتی مدل [۱]

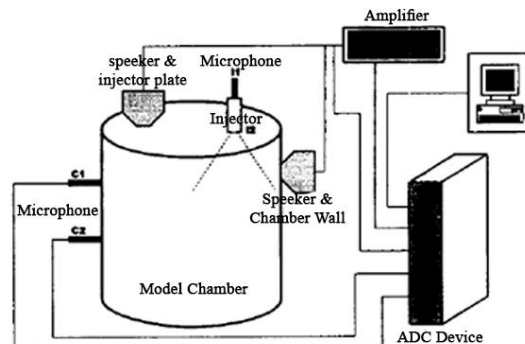
مود هدف	فرکانس طراحی	V_B/V_{VC}	طول انژکتور (میلی‌متر)
1LIT	۱۰۱۶/۸۶	. .	۸۰
-	۸۰۷/۷۵۶	. / ۲۵	۱۰۰
-	۷۴۴/۷۴۵	. / ۳۶۲۵	۱۰۹
-	۷۲۵/۷۸۱	. / ۴	۱۱۲
1T	۶۷۹/۹۲۱	/ ۵	۱۲۰

سیستم پالسی برای انجام آزمایشات اکوستیکی مورد استفاده قرار گرفته است. این سیستم از برد کنترل، پالس

اکوستیکی نشان داده شده است. شکل ۱۰ نیز معرف یک مدل محفظه برای انجام آزمایش‌هاست.



شکل ۸. اندازه‌گیری نرخ میرایی [۱]



شکل ۹. تجهیزات آزمایشگاهی تست‌های اکوستیکی [۱]



شکل ۱۰. مدلی از یک محفظه [۳]

۵. تجهیزات آزمایشگاهی

برای داشتن مدل‌های محفظه و انژکتور در ابعاد واقعی، ابتدا ابعاد محفظه احتراق محاسبه می‌شوند. خصوصاً محفظه احتراق مدل به گونه‌ای طراحی شده که شکل یک حفره استوانه‌ای را داشته باشد تا فرکانس‌های تشید به سادگی و

بیچیدهای را از خود به نمایش گذاشت. شکل‌های ۱۱ و ۱۲ زاویه پاشش و طول شکست را برای ۵ نوع انژکتور حفره‌پشتی مختلف نشان می‌دهد. همچنان که افت فشار افزایش می‌یابد، جریان پیشران، مومنتوم بیشتری پیدا می‌کند و مؤلفظ چرخشی سرعت جریان افزایش پیدا می‌کند که این نیز به نوبه خود، زاویه بزرگ‌تری را برای افشنانه رقم می‌زند. همچنین شکست افشنانه به لیگامنت‌ها سریع‌تر اتفاق می‌افتد. ضمناً با افزایش افت فشار و نیز مومنتوم، مؤلفه محوری جریان در اوریفیس انژکتور بزرگ‌تر می‌شود. در نتیجه، صرف‌نظر از اینکه شکست فوری فیلم مایع، رفتار غیرخطی طول شکست را نسبت به افت فشار را به وجود می‌آورد، موقعیت شکست به سمت پایین‌دست روانه می‌شود [۱]. همان‌گونه که در شکل ۱۱ نیز دیده می‌شود، در افتهای فشاری معادل با $\frac{۳}{۵}$ تا $\frac{۰}{۰}$ مگاپاسکال، انژکتور درازتر، زاویه پاشش کوچک‌تری دارد. در مقادیر افت فشار بیشتر از $\frac{۶}{۰}$ مگاپاسکال، ترتیب زوایای افشنانه انژکتورهای مدل دارای حفره (یعنی برای $Linj=80mm$ و $Linj=109mm$ و $Linj=100mm$ و $Linj=112mm$ و $Linj=120mm$ بر عکس می‌شود.

۶-۲. تنظیم انژکتور

انژکتورهای مدل حفره‌پشتی به گونه‌ای طراحی شده‌اند که به صورت اختصاصی فرکانس مودهای ۱T و ۱L1T را تنظیم کنند. از اندازه‌گیری‌های اکوستیکی پاسخ فرکانسی محفظه احتراق، فرکانس‌های دقیق مودها به دست آمد که نتایج آن در جدول ۴ ارائه شده است. فرکانس‌های نظری را می‌توان بر مبنای معادلات نظری به دست آورد. فرکانس‌های مورد انتظار در شرایط گاز داغ نیز در جدول ۴ فهرست شده‌اند. این فرکانس‌ها از نتایج تجربی و با استفاده از یک نسبت صوتی $\frac{۳}{۲}$ ای درجه‌بندی و مقیاس‌بندی شده‌اند [۱]. اندازه‌گیری‌های اکوستیکی پاسخ فرکانسی انژکتورهای مدل نیز به منظور دستیابی به فرکانس‌های طبیعی دقیق انژکتورها، انجام شده است. شکل ۱۳ فرکانس

3560C و نرم‌افزار فرانت‌اند لب‌شات^۴ تشکیل شده است. برد کنترل دو واحد خروجی برای ایجاد منبع تحریک صوتی و نیز چهار واحد ورودی برای اندازه‌گیری فشار اکوستیکی تشکیل شده است. سیگنال‌های نوافه تصادفی برای امپلی‌فایر تولید می‌شود تا بلندگو محفظه احتراق را تحریک کند. تمام سیگنال‌های اکوستیکی مورد بررسی و تحلیل قرار گرفتند تا پاسخ‌های فرکانسی و یا پاسخ‌های زمانی با پالس لب‌شات نشان داده شوند. شرایط آزمایش در جدول ۳ نشان داده شده‌اند [۱].

جدول ۳. شرایط انجام آزمایش‌ها [۱]

(سیال شبیه‌ساز: آب با دبی ۷۷/۱ گرم بر ثانیه)

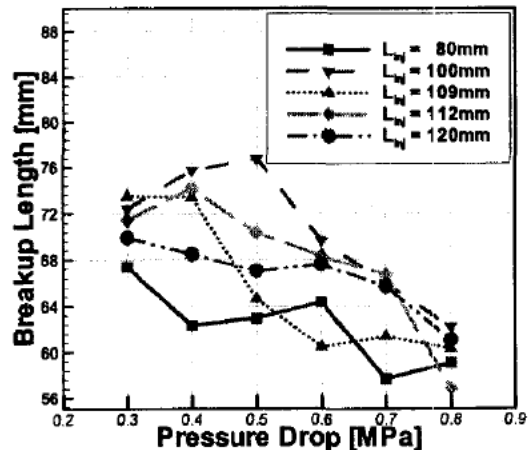
پارامتر اندازه‌گیری	پاسخ فرکانسی	مشخصات افشنانه
افت فشار (مگاپاسکال)	۰/۸ تا ۰/۱	۰/۶
طول انژکتور (میلی‌متر)	۱۲۰، ۱۱۲	۸۲، ۸۱، ۸۰، ۱۰۰، ۱۰۹، ۱۰۰، ۸۰، ۱۱۲، ۱۰۹، ۱۱۹، ۱۱۸
	۱۲۰	

۶-۳. نتایج و بررسی آنها

۶-۱. مشخصات افشنانه

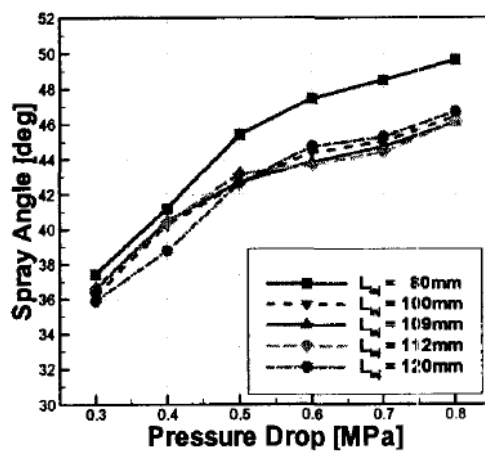
به منظور ارزیابی عملکرد انژکتورهای حفره‌پشتی، الگوی افشنانه برای افتهای فشاری مختلف (از ۰/۱ تا ۰/۸ مگاپاسکال) مورد بررسی قرار گرفت. از مجموع این تصاویر، زاویه پاشش انژکتور و نیز طول‌های شکست هر انژکتور برای میزان افت فشار اندازه‌گیری شد. در افت فشارهای پایین‌تر (به نسبت)، از ۰/۱ تا ۰/۲ مگاپاسکال، افشنانه به حالت کاملاً توسعه‌یافته نرسیده بود و مود لاله‌گون به وجود آمده بود. در افت فشارهای بیشتر (بالاتر از ۰/۳ مگاپاسکال) الگوی افشنانه حالت مخروطی به خود گرفت. لذا زاویه رأس افشنانه و نیز طول شکست برای مقادیر افت فشار $\frac{۰}{۳}$ مگاپاسکال و به بالا قابل اندازه‌گیری بود [۱]. مشخصه‌های افشنانه با افزایش افت فشار، رفتار

آمده از روابط نظری مقایسه شده‌اند. همان‌گونه که از شکل ۱۴ نیز برمی‌آید، این انژکتورها در فرکانس‌های ۱۰۵۷ و ۷۳۱ هرتز تشدید دارند. لذا طول‌های موثر با استفاده از رابطه فرکانس تشدید محاسبه می‌شود.



شکل ۱۲. طول شکست نسبت به افت فشار [۱]

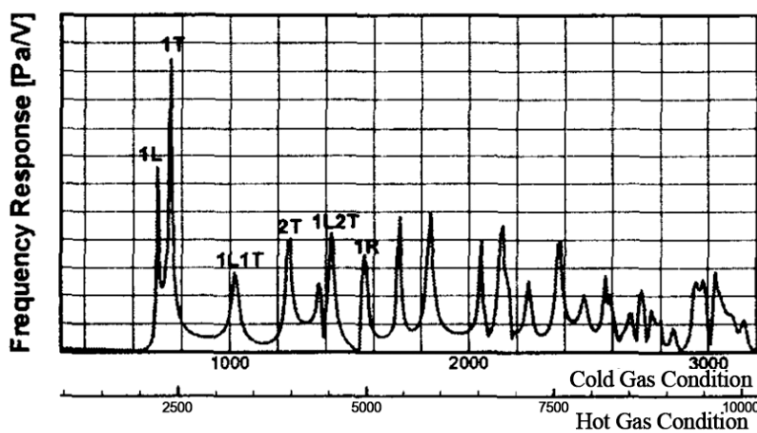
تشدید انژکتورهای مدل $\text{Linj}=120\text{mm}$ و $\text{Linj}=80\text{mm}$ را در شرایط گاز سرد نشان می‌دهد. در جدول ۴، به‌منظور تخمین و بررسی صحت Δl پیشنهاد شده، فرکانس‌های تجربی انژکتورهای مدل با فرکانس‌های نظری بدست



شکل ۱۱. زاویه افشه نسبت به افت فشار [۱]

جدول ۴. فرکانس‌های پاسخ مودهای اکوستیکی در محفظه احتراق مدل [۱]

فرکانس گاز داغ مورد انتظار	انحراف (درصد)	فرکانس تجربی (هرتز)	فرکانس نظری (هرتز)	مود
۲۲۳۵/۲	۱/۵۹	۶۹۸/۵	۶۸۷/۴	1L
۲۴۰۸	۰/۹۲	۷۵۲/۵	۷۴۵/۶	1T
۳۲۷۶/۸	۰/۹۷	۱۰۲۴	۱۰۱۴/۱	1L1T
۳۹۸۴	۰/۷۴	۱۲۴۵	۱۲۳۵/۸	2T
۴۴۰۳/۲	۰/۱۵	۱۳۷۶	۱۳۷۴	2L
۴۵۵۶/۸	۰/۶۹	۱۴۲۴	۱۴۱۴/۲	1L2T
۴۹۶۶/۴	۰/۰۱	۱۵۵۲	۱۵۵۱/۹	1R



شکل ۱۳. طیف فرکانسی اندازه‌گیری شده در محفظه احتراق مدل تحت شرایط گاز سرد [۱]

پاشش و بدون پاشش پیشران اندازه‌گیری شد که نتایج آن در شکل‌های ۱۷ و ۱۸ به نمایش درآمدند. دامنه در فرکانس مود 1L1T برابر با Pa/V ۲۸/۴۸۵ است (هنگامی که انژکتور نصب نشده است). چهار مورد آزمایشی برای شرایطی که انژکتورهای مدل دارای طول‌های ۸۰ و ۸۱ و ۸۲ و ۸۳ میلی‌متر هستند، انجام شده است. نتایج حاکی از آن بود که دامنه فرکانس 1L1T انژکتورهای مدل، برای حالتی که پاشش وجود ندارد به Pa/V ۱۲/۸۷۹ است و برای مود ۱T، انژکتور ۱۱۹ میلی‌متری و برای مود 1L1T ۸۲ میلی‌متری تنظیم شدند [۱].

۸. نتیجه‌گیری

انژکتورهای مدل، دامنه قله را در فرکانس‌های ناپایدار هدف کاهش دادند و شکاف مودها همچنان که از نتایج نظری مورد انتظار بود، بهموجود آمد. همچنین موقعیت شعاعی انژکتورهای مدل در صفحه انژکتور اندازه‌گیری شد و مشخص شد که در بازده میرایی بسیار مؤثر است. اگر انژکتور در مرکز صفحه انژکتور نصب شود، به سختی

$$L' = \frac{c}{4f_0} \quad (10)$$

بهطوری که در این رابطه طول مؤثر L' مجموع طول انژکتور و تصحیح جرمی Δl می‌باشد. مقدار Δl به گونه‌ای محاسبه شده است که برابر با ۰.۱۵۳ Rinj برای انژکتور ۸۰ میلی‌متری و Rinj ۰.۳۵۵- برای انژکتور ۱۲۰ میلی‌متری باشد. با تطبیق این تصحیحات جرمی، یک فرایند تنظیم فرکانس مودی خوب انجام شد. برای مود ۱T، انژکتور ۱۱۹ میلی‌متری و برای مود 1L1T ۸۲ میلی‌متری تنظیم شدند [۱].

۷. روش پهنه‌ای باند

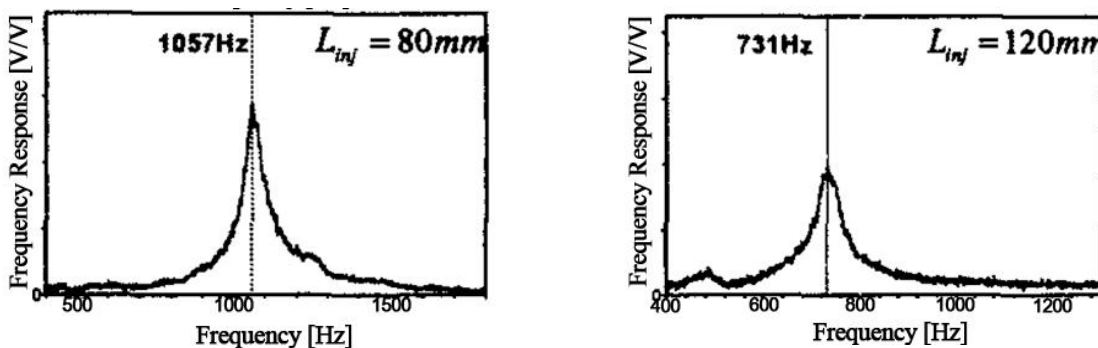
شکل ۱۵ پاسخ‌های فرکانسی محفظه احتراق مدل را که به انژکتور تنظیم شده برای مود 1T مجهز شده است، نشان می‌دهد که هیچ جریانی وجود ندارد. مشاهده می‌شود که دامنه برای محفظه بدون انژکتور، در فرکانس مود 1T برابر با Pa/V ۷۵/۲۳۶ می‌باشد. بعد از سوار کردن انژکتورهای با طول‌های ۱۱۸ میلی‌متر و ۱۱۹ میلی‌متر و ۱۲۰ میلی‌متر یکی پس از دیگری، دامنه آن فرکانس‌ها به مقادیر Pa/V ۲۴/۳۰۲ و ۲۳/۳۵۳ و ۲۲/۱۳۷ و ۲۲/۳۵۳ کاهش یافته و دامنه قله انتقال یافته به Pa/V ۲۷/۷۱۶ و ۲۸/۱۰۷ و ۲۷/۷۱۶ می‌رسد. همچنین در هر مورد شکاف مود^۵ کوچکی نیز مشاهده می‌شود. هنگامی که مقادیر جریان پیشران در انژکتور، مقداری تغییر می‌کنند (که نتایج آن در شکل ۱۶ نشان داده شده است) دامنه فرکانس مود 1T به مقادیر Pa/V ۱۳/۹۴۸ و ۱۲/۰۳۹ و ۱۲/۸۴۱ کاهش می‌باید و اختلاف دو تا مود به صورت واضح‌تری دیده می‌شوند. چون پاشش پیشران‌ها، انژکتور را تحریک کرده و یک نوکه دیگر را علاوه بر منبع صوتی اصلی تولید می‌کند، یکی از قله‌های شکافته شده بیشتر از حالت مورد بدون پاشش، رشد می‌کند. هرچند که بیشینه دامنه قله همچنان حداقل ۳۵/۹ درصد کمتر از دامنه مود 1T می‌باشد [۱]. به صورت مشابه، پاسخ‌های فرکانسی محفظه احتراق مدل مجهز به انژکتور تنظیم شده برای مود 1L1T برای دو حالت با

مدل محفظه با تجهیز به انژکتورهای مدل (در هر دو حالت بدون جریان و با جریان) افزایش یافت که حاکی از آن است که با طراحی صحیح انژکتور، می‌توان از وقوع ناپایداری‌های فرکانس بالای احتراق جلوگیری نمود [۱].

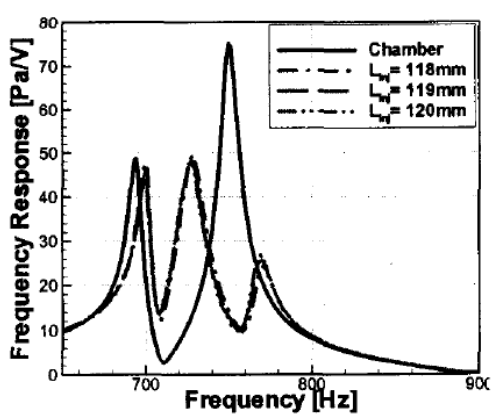
مودهای مماسی خالص و ترکیب آنها را میرا می‌کند. فاکتورهای میرایی برای پاسخ محفظه مدل اندازه‌گیری شد. برمنای این رویکرد از بین سه مود، مود ۱L ناپایدارترین قله و مود ۱L1T نیز پایدارترین آنها بود. نرخهای میرایی

جدول ۵. فرکانس‌های پاسخ انژکتورهای مدل [۱]

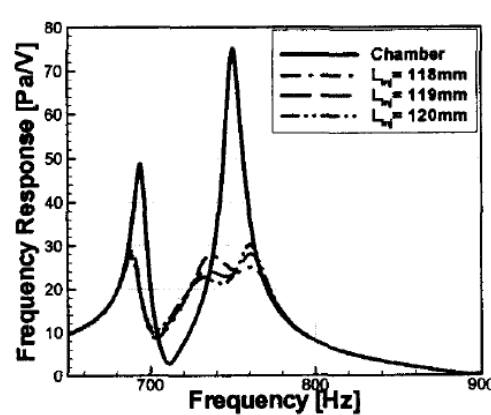
$\Delta l / R_{inj}$	انحراف (درصد)	فرکانس تجربی	فرکانس طراحی (هرتز)	طول انژکتور (میلی‌متر)
+۰/۱۵۳	۳/۸۰	۱۰۵۷	۱۰۱۶/۸۶	۸۰
-۰/۰۶۶	۶/۲۹	۸۶۲	۸۰۷/۷۵۶	۱۰۰
-۰/۲۶	۷/۰۸	۸۰۱/۵	۷۴۴/۷۴۵	۱۰۹
-۰/۲۸	۷	۷۸۰/۵	۷۲۵/۸۷۱	۱۱۲
-۰/۳۵۵	۶/۹۹	۷۳۱	۶۷۹/۹۲۱	۱۲۰



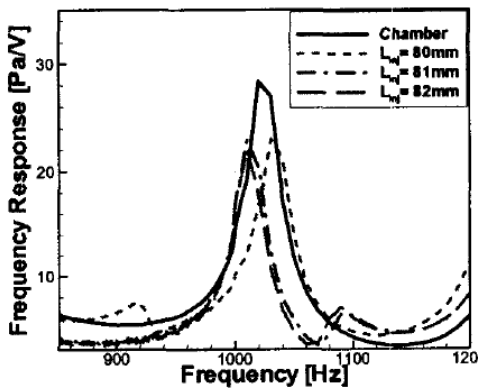
شکل ۱۴. پاسخ فرکانسی انژکتور مدل [۱]



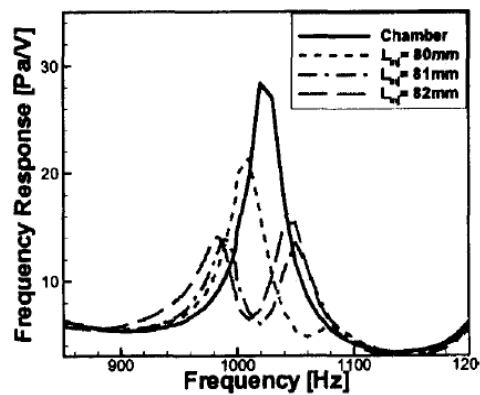
شکل ۱۶. پاسخ فرکانسی محفظه با انژکتورهای تنظیم شده برای مود ۱T (با جریان) [۱]



شکل ۱۵. پاسخ فرکانسی محفظه با انژکتورهای تنظیم شده برای مود ۱T (بدون جریان) [۱]



شکل ۱۸. پاسخ فرکانسی محفظه با اثر کتورهای تنظیم شده برای مود 1L1T (با جریان) [۱]



شکل ۱۷. پاسخ فرکانسی محفظه با اثر کتورهای تنظیم شده برای مود 1L1T (بدون جریان) [۱]

جدول ۶. دامنه اثر کتورهای مدل در مود هدف و بیشینه مود جدا شده [۱]

درصد کاهش قله دامنه	دامنه در فرکانس ناپایدار (Pa/V)	دامنه در فرکانس قله دامنه	طول اثر کتور (میلی‌متر)	مود هدف
بدون جریان	بدون جریان	بدون جریان	بدون جریان	
۳۳/۷	۶۳/۱	۴۹/۸	۲۷/۷	۱۱۸
۳۵/۴	۲۶/۶	۴۸/۹	۲۸/۱	۱۱۹
۳۶/۸	۵۹/۷	۴۷/۵	۳۰/۲	۱۲۰
۲۰/۷	۲۹/۳	۲۴/۷	۲۲	۸۰
۲۰/۵	۵۵/۶	۲۴/۸	۱۳/۸	۸۱
۲۳/۸	۴۶/۷	۲۳/۷	۱۶/۶	۱L1T
			۱۳/۶	۸۲
			۸/۶	

جدول ۷. پاسخ فرکانسی محفظه مدل و فاکتورهای میرایی محاسبه شده در تشذید [۱]

۱L1T	1T	1L	مود
۱۰۲۵	۷۵۲/۵	۶۹۹	فرکانس قله
۰/۰۸۲	۱/۲۸۳	۰/۹۵۹	η

۵. مأخذ

- [1] Cha, E., D. Kim, B. S. Kim, Y. Yoon and V. Bazarov, "Analysis of swirl coaxial injector with backhole as an acoustic damper in liquid rocket engines," 41st AIAA/ ASME/ SAE/ ASEE Joint Propulsion Conference & Exhibit, Tucson, Arizona, 2005.
- [2] Kim, B., D. Kim, E. Cha, Y. Yoon, Y. M. Han, H. S. Choi and V. G. Bazarov, "Effect of Swirl Injector with Variable Backhole on Acoustic Damping in Liquid Rocket Engine," 2006.

- [3] Kim, S., T. Khil, D. Kim and Y. Yoon, "Effect of geometric parameters on the liquid film thickness and air core formation in a swirl injector," *MEASUREMENT SCIENCE AND TECHNOLOGY*, no. Meas. Sci. Technol. 20 (2009).

پی‌نوشت

-
1. RD-170
 2. NK-33
 3. RD-57
 4. Frontend Labshot
 5. mode-split